

# مروری بر رویکردهای مختلف در مدل‌سازی تحلیلی منحنی نگهداشت آب - خاک

علی گل آقائی درزی (دانشجوی کارشناسی ارشد)

حامد صادقی \* (استادیار)

دانشکده مهندسی عمران، دانشگاه صنعتی شریف

مهمنسی عمران شریف، (پاییز ۱۴۰۰)  
دوری ۳-۷، شماره ۱/۳، ص. ۱۱-۲۲-۱۰ (مرداد)

منحنی نگهداشت آب - خاک رابطه‌ی میان رطوبت خاک و مکش را تبیین می‌کند و کاربرد زیادی در مسائلی از قبیل پیش‌بینی مقاومت برشی یا تحلیل جریان دوفازه و پایداری شیروانی‌ها دارد. دسته‌ی منحنی‌های نگهداشت برای یک خاک با پارامترهای حالت مشخص، به دو منحنی مرزی خشک‌شدگی و ترشیدگی محاط شده است و در نتیجه، مشخصه‌بندی این دو منحنی و متعاقباً پذیره‌ی هیسترزیس هیدرولیکی از اهمیت بسزایی برخوردار است. اندازه‌گیری مستقیم منحنی نگهداشت نیازمند تجهیزات پیشرفته و تخصص بالاست و خروجی آزمایش‌ها به صورت گسسته و محدود است که امکان استفاده‌ی مستقیم از آن در شبیه‌سازی‌های عددی را سلب و مدل‌سازی تحلیل را اجتناب ناپذیر می‌کند. بنابراین هدف اصلی این مقاله، مروری جامع بر رویکردهای مختلف مدل‌سازی تحلیلی موجود و طبقه‌بندی آنها در قالب هفت گروه است. پس از ارائه چارچوب نظری هر رویکرد و بحث بر روی نقاط قوت و ضعف آن، چالش‌های پیش‌روی مدل‌سازی در پژوهش‌های آتی پیشنهاد می‌شود.

ali.golaghaei@student.sharif.edu  
hsadeghi@sharif.edu

واژگان کلیدی: منحنی نگهداشت آب - خاک، منحنی خشک‌شدگی، منحنی ترشیدگی، هیسترزیس هیدرولیکی، مدل‌سازی تحلیلی.

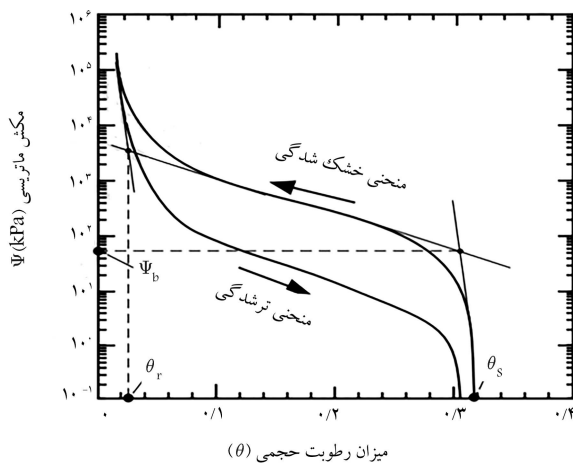
## ۱. مقدمه و بیان مسئله

منحنی نگهداشت آب - خاک، یکی از بنیادی‌ترین مفاهیم مکانیک خاک‌های غیرآشباع است و نقش کلیدی در تحلیل جریان‌های دوفازه در خاک دارد. از جمله کاربردهای آن در حوزه‌ی علوم مهندسی محیط زیست، هیدرولوژی و زئوتکنیک می‌توان به مواردی همچون بررسی پایداری شیروانی‌ها و سدهای خاکی، پیش‌بینی تابع هدایت هیدرولیکی، جریان‌های زیرسطحی، رواناب‌ها، تغییرات حجمی و مقاومت برشی خاک‌های غیرآشباع اشاره کرد.<sup>[۱]</sup>

روش‌های آزمایشگاهی قادر به اندازه‌گیری مستقیم منحنی نگهداشت آب - خاک هستند ولی اندازه‌گیری‌ها، گسسته و محدود است. برای کاربرد داده‌های آزمایشگاهی در پیش‌بینی پذیره‌های مبتنی بر جریان لازم است که نقاط گسسته‌ی نگهداشت به شکل یک تابع ریاضی پیوسته بیان شوند. از سوی دیگر، اندازه‌گیری مستقیم معمولاً فرایندی نیازمند به تخصص بالا و پرهزینه است. با توجه به پیچیدگی‌ها و هزینه‌های بالای نمونه‌گیری، انتقال و آماده‌سازی نمونه‌های دست‌نخورد و مشکلات عدیده‌ی تأمین با پیچیدگی دستگاه‌های خاص آزمایشگاهی، معمولاً داده‌های اندازه‌گیری محدودی وجود دارد. همچنین، بیشتر این داده‌ها قادر به تعیین و ثبت اثرات پیچیده‌ی تنش و تغییر حجم متحمل در شرایط برجا نیستند. به عبارت دیگر، اندازه‌گیری‌های مبتنی بر روش مستقیم، تنها بخش کوچکی از منحنی نگهداشت آب - خاک در امتداد مسیر خشک‌شدگی یا ترشیدگی را پوشش می‌دهند. بنابراین نیاز به روش‌های جایگزین برای اندازه‌گیری‌های مستقیم منحنی نگهداشت آب - خاک همواره احساس می‌شود.<sup>[۲]</sup>

منحنی نگهداشت آب - خاک (SWRC<sup>۱</sup>) رابطه‌ی میان میزان رطوبت خاک (بر حسب درصد رطوبت وزنی  $W$ ، مقدار رطوبت حجمی  $S_r$  یا درجه‌ی اشباع  $S_a$ ) و مکش را بیان می‌کند.<sup>[۳]</sup> در متون فنی نام‌های مختلفی برای این ویژگی هیدرولیکی همچون منحنی مشخصه‌ی آب - خاک<sup>۲</sup> (SWCC)، منحنی مکش خاک و منحنی نگهداشت رطوبت به کار رفته است. در حالی که مفهوم فیزیکی همه‌ی این عبارات یکسان و حاکمی از توانایی نگهداشت رطوبت توسط یک محیط مخلخل در طیف پتانسیل آبی ممکن است. منحنی‌های نگهداشت آب - خاک برای یک گروه پارامتر حالت مشخص، به دو منحنی مرزی و اصلی خشک‌شدگی و ترشیدگی محدود شده و بنابراین یک سطح حالت است. در مسیر خشک‌شدگی منحنی‌های نگهداشت با افزایش مکش، رطوبت خاک افزایش می‌یابد. به اختلاف میان رفتار نگهداشت با کاهش مکش، رطوبت خاک افزایش می‌یابد. به لغت در مسیر منحنی‌های ترشیدگی و خشک‌شدگی هیسترزیس گفته می‌شود که در لغت به معنای تأخیر است و می‌توان از نظر فیزیکی ثابت کرد که در یک مکش معن، رطوبت خاک در مسیر خشک‌شدگی همواره بیش از مقدار نظیر در مسیر ترشیدگی است.<sup>[۳]</sup>

\* نویسنده مسئول  
تاریخ: دریافت ۲۷/۰۷/۱۳۹۹، اصلاحیه ۲۱، ۱۰، پذیرش ۲۷/۰۷/۱۳۹۹، پذیرش ۱۰/۰۷/۱۳۹۹  
DOI:10.24200/J30.2021.56932.2870



شکل ۱. شمای کلی منحنی نگهداشت آب - خاک و پارامترهای مرسوم آن.<sup>[۲]</sup>

چارچوب‌های کلی این مدل‌ها هستند. در ادامه به معرفی چند مدل تحلیلی معروف در این حوزه پرداخته می‌شود.

معادله‌ی پیشنهادی بروکس و کوری<sup>[۵]</sup> یکی از اولین رویکردهای مدل‌سازی منحنی نگهداشت آب - خاک به شمار می‌رود. براساس مشاهدات انجام شده روی مجموعه‌ی بزرگی از مقادیر مکش و درصد رطوبت اندازه‌گیری شده در آزمایشگاه، یک رابطه‌ی توانی دو قسمتی پیشنهاد شد که در آن شاخص توزیع اندازه‌ی حفره‌ها  $\lambda$  نیز وارد شده است تا به نحوی اثر دانه‌بندی خاک لحاظ شود. این مدل در مقادیر ورود هوا ناپیوسته است و مطابق رابطه‌ی ۱ تعریف می‌شود.

$$S_e = \begin{cases} 1 & \psi < \psi_b \\ \left(\frac{\psi_b}{\psi}\right)^{\lambda} & \psi \geq \psi_b \end{cases} \quad (1)$$

که در این رابطه،  $S_e$  درجه‌ی اشباع مؤثر است که با استفاده از رابطه‌ی ۲ محاسبه می‌شود. در رابطه‌ی ۲ معرف درجه‌ی اشباع نمونه و  $S_r$  درجه‌ی اشباع نمونه در حالت پسماند است.

$$S_e = \frac{S - S_r}{1 - S_r} \quad (2)$$

باید توجه شود که این مدل در مکش‌های بالا که متناظر با مقادیر کمتر از رطوبت پسماند است، کاربرد خود را از دست می‌دهد. همچنین نبود یک نقطه‌ی عطف در این مدل معمولاً منجر به تعریف ضعیف و ناقص منحنی نگهداشت آب - خاک در گستره‌ی وسیعی از مقادیر مکش می‌شود. گستینگی تابع ریاضی در مقادیر ورود هوا به یک ناپیوستگی تیز در تابع هدایت هیدرولیکی منجر خواهد شد که این پدیده، سبب ناپایداری عددی در مدل‌سازی جریان سیال در نزدیکی شرایط اشباع می‌شود.<sup>[۲]</sup>

ونگوختن<sup>[۶]</sup> یک مدل سه‌پارامتری پیوسته با حل تحلیلی برای منحنی نگهداشت آب - خاک به صورت رابطه‌ی ۳ ارائه داده است.

$$S_e = [1 + (a \psi)^n]^{-m} \quad (3)$$

که در این رابطه،  $a$ ،  $n$  و  $m$  پارامترهای مدل‌اند. فرم ریاضی مدل ونگوختن دارای یک نقطه‌ی عطف است. در مقایسه با مدل بروکس و کوری، این مدل در محدوده‌ی وسیعی از مقادیر مکش انعطاف‌پذیری بیشتری دارد و فرم  $S$  وارونه‌ی این گونه منحنی‌ها را بهتر به تصویر می‌کشد. در این مدل، در مقادیر ورود هوا انتقال آرام‌تری

تاکنون رویکردهای بسیاری برای بیان ریاضی (مانند برازش) یا پیش‌بینی منحنی نگهداشت آب - خاک پیشنهاد شده است که یکی از مهم‌ترین آنها، مدل‌سازی تحلیلی است. در روش مدل‌سازی تحلیلی، با استفاده از پارامترهای مؤثر در ظرفیت نگهداشت آب در خاک، توابعی ارائه داده می‌شود که می‌تواند رفتار نگهداشت را در طیف گسترده‌ی از تغییرات مکش به خوبی نشان دهد. مزیت مهم استفاده از مدل‌سازی تحلیلی قابلیت آن در حل معادله‌ی ریچارد در شرایط دو فاز جریان سیال است. به عبارت دیگر، از مدل‌های تحلیلی می‌توان برای مدل‌سازی عددی در نرم‌افزارها و کدهای پژوهشی حل جریان در مسائل مهندسی مختلفی استفاده کرد. تاکنون مدل‌های تحلیلی بسیاری برای منحنی نگهداشت ارائه شده‌اند که به طور کلی این مدل‌ها را می‌توان در هفت گروه طبقه‌بندی کرد که در بخش‌های آتی به آن پرداخته می‌شود.

## ۲. پارامترهای اصلی منحنی نگهداشت آب - خاک

قبل از معرفی مدل‌های تحلیلی نگهداشت آب - خاک، لازم است تا پارامترهای کلی منحنی نگهداشت آب - خاک که در پیشنهادی مدل‌ها استفاده می‌شود، معرفی شود. به طور کلی، این پارامترها شامل مجموعه‌ی از نقاط ثابت مربوط به درصد رطوبت یا مکش در شرایط مشخص (مانند اشباع کامل، درجه اشباع پسماند و مقدار ورود هوا) هستند که به کمک دو یا چند ثابت برازشی می‌توان شکل کلی منحنی نگهداشت آب - خاک را بین این نقاط ثابت به دست آورد. همان‌طور که در شکل ۱ نشان داده شده است، محور قائم منحنی نگهداشت آب - خاک (با در بعضی مراجع، محور افقی) بر حسب مکش کل یا ساختاری تعریف می‌شود. مکش کل از تجمعی دو مؤلفه مکش اسمزی و مکش ساختاری به دست می‌آید. مکش اسمزی ناشی از حضور نمک‌های حل شده در آب و مکش ماتریسی طبق تعریف به اختلاف میان فشار هوانمذذی و فشار آب‌منذذی گفته می‌شود که به طور کلی ناشی از آثار ترکیبی موئینگی و جذب سطحی است و همواره مقادیر مثبت می‌گیرد. این مکش معمولاً با عبارت  $\psi$  و بر حسب واحد فشار بیان می‌شود. میزان آب حجمی<sup>۳</sup> اشباع ( $\theta_s$ ) بیان‌گر نقطه‌یی است که همه‌ی حفرات موجود در ماتریس خاک پر از آب باشد که مطابق شکل ۱ متناظر با ابتدای شاخه‌ی خشک‌شدگی منحنی نگهداشت آب - خاک است. مقدار ورود هوا<sup>۴</sup> (phi) متناظر با مقدار مکشی روی شاخه‌ی خشک‌شدگی منحنی نگهداشت آب - خاک است که هوا، برای اولین بار شروع به وارد شدن به بزرگترین حفره‌های خاک می‌کند و فرایند غیراشباع شدن آغاز می‌شود. میزان رطوبت پسماند<sup>۵</sup> ( $\theta_r$ ) نشان‌دهنده‌ی آغاز ناپیوستگی در فاز آب است و برای بیرون راندن آب اضافی از حفرات خاک نیاز به افزایش قابل توجه مکش است. برای به دست آوردن مقدار ورود هوا و درجه‌ی اشباع پسماند، می‌توان از ترسیم خطوط مماس از دو سمت انحنای منحنی نگهداشت و پیدا کردن محل تلاقی آن مطابق شکل ۱ استفاده کرد.<sup>[۲]</sup>

## ۳. مدل‌های کلاسیک منحنی نگهداشت آب - خاک

مدل‌های کلاسیک فقط قادر به پیش‌بینی شکل کلی منحنی نگهداشتند و توانایی بررسی عوامل مؤثر بر رفتار منحنی نگهداشت آب - خاک همانند اثرات تغییر حجمی، هیسترزیس هیدرولیکی و بسیاری دیگر از عوامل را ندارند. وجه تسمیه‌ی «کلاسیک» در این مقاله از آن جهت است که بسیاری از مدل‌های پیش‌رفته، مبتنی بر

که در این رابطه،  $f_{Inr}$  تابع چگالی اندازه‌ی حفرات خاک پس از تغییرشکل با بارگذاری و  $f_{Inr}$  تابع چگالی اندازه‌ی حفرات خاک قبل از تغییرشکل یا پارکزیاری است. هو و همکاران با استفاده از معادله‌ی ون‌گوختن<sup>[6]</sup> رابطه‌ی منحنی پارکزیاری داشتند. آب - خاک را به صورت معادله‌ی زیر پیشنهاد دادند

$$S_e = \left[ 1 + \left( \frac{a\psi}{\chi} \right)^n \right]^{-m} \quad (4)$$

ما توجه به رابطه‌ی ۹ می‌توان مشاهده کرد که منحنی نگهدارش آب - خاک فقط به ضریب مقیاس جایه‌جایی افقی یعنی  $\chi$  وابسته است و مستقل از ضریب مقیاس قائم ۷ است. همچنین با توجه به این که در اثر بارگذاری هیدرومکانیکی، نسبت خلخل خاک نیز تغییر می‌یابد، می‌توان بین نسبت تخلخل خاک و ضریب مقیاس فهم، رابطه‌ی همانند (رابطه‌ی ۱۰) نوشت:

$$\frac{1}{\chi} = \exp [k_p (e - e_*)] \quad (\text{10})$$

که در این رابطه  $e$  نسبت تخلخل اولیه،  $e$  نسبت تخلخل خاک پس از تعییر شکل  $k_p$  ضریب تناسب است. در نهایت مدل تحلیلی منحنی نگهدارش آب - خاک هو و همکاران برای دو شاخه‌ی خشک شدگی و تر شدگی را می‌توان در رابطه‌ی ۱۱ مشاهده کرد. در این رابطه، پارامترهای  $\beta_d$  و  $\beta_w$  بیان‌گر مقادیر بروود هوا و خروج هوا به ترتیب در شاخه‌های خشک شدگی و تر شدگی منحنی نگهدارش آب - خاک می‌باشند. ضعف این مدل در این است که در مکش‌های مالا به خوبی نمی‌تواند رفتار نگهدارش آب - خاک را نشان دهد پس از ضریب اصلاحی ارائه شده در رابطه‌ی ۷، در این رویکرد نیز معمولاً استفاده می‌شود.

$$S_e = \begin{cases} \{1 + [\beta_d \exp(k_p e) \psi]^n\}^{-m} & \text{شاخص شدگی} \\ \{1 + [\beta_w \exp(k_p e) \psi]^n\}^{-m} & \text{شاخص ترشیدگی} \end{cases} \quad (11)$$

از مایش تخلخل سنجی نفوذ جیوه از جمله آزمایش هایی است که توسط آن می توان به تابع چگالی اندازه هی حفرات خاک پی برد. اما باشد توجه کرد که یکی از محدودیت های بن آزمایش در این است که به دلیل غیر یکنواختی در توزیع اندازه هی حفرات خاک، تابع چگالی اندازه هی حفرات اندازه گیری شده همان تابع چگالی اندازه هی حفرات را واقعی خاک نیست. از این رو چن و همکاران<sup>[4]</sup> در مدل تحلیلی خود به بررسی نژادت غیر یکنواختی در تابع چگالی اندازه هی حفرات خاک پرداختند. در این مدل طور کلی حفرات موجود در خاک به سه صورت ایده آل سازی شدند. در حالت اول، به طور کلی حفرات خاک یکنواخت فرض می شوند. اما در حالت دوم، حفرات کوچک تر خاک توسط حفرات بزرگ تر محصور می شوند و با توجه به این که در شاخه ترشیدگی منحنی نگهداشت آب - خاک، ابتدا حفرات کوچک از آب پر می شوند، بن گروه از حفرات کوچک محصور شده در خاک، خالی از آب باقی میمانند. به طور مشابه در حالت سوم، حفرات بزرگ تر خاک توسط حفرات کوچک تر محصور می شوند که این پدیده موجب این می شود که در شاخه هی خشک شدنگی منحنی نگهداشت آب - خاک، با این که ابتدا حفرات بزرگ تر با پیشرفت مکش خشک می شوند، اما این حفرات بزرگ تر محصور شده همچنان پر از آب باقی میمانند. حال با این توضیحات می توان تابع چگالی اندازه هی حفرات خاک را به صورت معادله ای<sup>[4]</sup> « تعریف کرد:

$$f(\log(r)) = \frac{d\theta_w}{d\log(r)} \quad (12)$$

رج می دهد و مدل سازی برای مکش های این ناحیه مؤثیر انجام خواهد شد. ضریب مکش در مدل ونگنوختن  $a$  می تواند بر حسب واحد فشار یعنی کیلوپاسکال یا متراارتفاع بیان شود و به طور کلی این پارامتر با مقدار ورود هوا در ارتباط است. پارامتر  $n$  به توزیع اندازه هی حفرات خاک و پارامتر  $m$  نیز به تقارن کلی منحنی مرتبط است. پارامتر  $m$  غالباً با یکتابع معکوس همانند روابط  $4$  و  $5$  به پارامتر  $n$  مرتبط می شود.<sup>[۷]</sup>

$$m = \gamma - \frac{\gamma}{n} \quad (\dagger)$$

$$m = \gamma - \frac{\gamma}{\gamma_n} \quad (5)$$

هر دو محدودیت فوق که بر روی پارامتر  $m$  اعمال می‌شود، انعطاف‌پذیری مدل و نگوختن را کاهش می‌دهد اما آن را بسیار ساده‌تر می‌کند.<sup>[۲]</sup>  
 فرلاند و زینگ<sup>[۴]</sup>، با در نظر گرفتن توزیع اندازه‌ی حفرات خاک، مدلی مشابه با مدل ونگوختن به فرم رابطه‌ی  $6$  ارائه داده‌اند.

$$\theta = C(\psi) \cdot \theta_s \left[ \ln \left( e + \left( \frac{\psi}{a} \right)^n \right) \right]^{-m} \quad (6)$$

در این رابطه  $a$ ,  $n$ ,  $m$  پارامترهای مدل هستند.  $e$  ثابت لگاریتم طبیعی و  $(\psi)$  فاکتور اصلاحی است که باعث می‌شود مقادیر مکش نظری درصد رطوبت صفر، مقادیر نظری  $kPa^{10}$  را به خود گیرد که در تئیجه معادله آن به فرم رابطه ۷ در می‌آید. فرداً زینگ روش گرافیکی معرفی کرده‌اند که می‌توان به کمک آن، سه پارامتر برازش  $(a, n, m)$  را با توجه به موقعیت نقاط عطف منحنی نگهداشت، تخمین زد.<sup>[۱]</sup>

$$C(\psi) = \left[ \gamma - \frac{\ln \left( 1 + \frac{\psi}{\psi_r} \right)}{\ln \left( 1 + \frac{\gamma \cdot \delta}{\psi_r} \right)} \right] \quad (\forall)$$

## ۲.۲. مدل‌های مبتنی بر تغییرات توزیع اندازه‌ی حفرات

هو و همکاران<sup>[۲]</sup> مدل تحلیلی برای در نظر گرفتن تغییرات منحنی نگهداشت آب - خاک، در خاک های تغییرشکل پذیر ارائه دادند. مدل ارائه شده از مفهوم تابع چگالی اندازه های حفرات (PSD)<sup>[۹]</sup> استفاده کرده است و رفتار نگهداشت خاک ها را در تغییرشکل های حاصل از بارگذاری هیدرومکانیکی تخمین می زند. تابع چگالی اندازه های حفرات خاک را می توان به صورت تابع  $f(Inc)$  بیان کرد که  $f(Inc) = f(Inc + dInc)$  یا  $f(Inc) = f(Inc + dInc + dInc)$  جرم حفرات خاک در واحد حجم خاک در بازه شعاعی است.

هو و همکاران با توجه به نتایج آزمایش تداخل سنجی نفوذ جیوه (MIP) <sup>۷</sup> روی خاک‌های رسی از نقاط مختلف جهان در یافته‌نده تابع چگالی اندازه‌ی حفرات به دست آمده تحت بارگذاری‌های هیدرومکانیکی به طور کلی شکل اولیه خود را حفظ کرده است و فقط در راستای افقی و قائم تعییراتی در آن به وجود می‌آید. از این رو از دو ضریب  $\chi$  و  $\gamma$  به ترتیب برای اعمال تعییرات در راستای افقی و قائم منحني PSD اولیه استفاده شده است. در نتیجه، تابع چگالی اندازه‌ی حفرات خاک تعییرشکل یافته تحت اثر بارگذاری هیدرومکانیکی را می‌توان به صورت رابطه‌ی <sup>۸</sup> نشاند:

$$f_t(\ln r) = \eta f_\circ(\ln r + \ln \chi) = \eta f_\circ(\ln r\chi) \quad (\text{A})$$

### ۳.۲. مدل‌های مبتنی بر تغییرات نسبت تخلخل

در این گروه از مدل‌ها، عمدهاً میزان تغییرشکل خاک‌ها در فرایند خشکشدنگی و ترشیدگی منحنی نگهداشت آب - خاک، با بررسی نحوه تغییرات در نسبت تخلخل نمونه سنجیده می‌شوند. پس سعی بر این است که علاوه بر پارامترهای مکش و درصد رطوبت، اثرات نسبت تخلخل نیز در رفتار نگهداشت خاک دیده شود. در ادامه به بررسی برخی از مدل‌های معروف در این بخش پرداخته خواهد شد.

گالیپولی و همکاران<sup>[۱۰]</sup> توانستند مدل ونگتوختن<sup>[۱۱]</sup> را به گونه‌ی اصلاح کنند که اثرات تغییر نسبت تخلخل نیز در این مدل لحظه شود. بدین منظور کافی است تا به جای ضریب مکش در مدل ونگتوختن، عبارت  $a = e^{\gamma}$  جایگزین شود.  $\gamma$  و  $w$  پارامترهای جدید معادله اصلاح شده هستند که باید همانند پارامترهای  $n$  و  $m$  از نتایج آزمایش منحنی نگهداشت آب - خاک محاسبه شوند. در ادامه، گالیپولی<sup>[۱۲]</sup> با تعریف سطوح اصلی خشکشدنگی و ترشیدگی، مدل منحنی نگهداشت آب - خاک را به صورت رابطه‌ی ۱۶ ارائه داد.

$$S_r = \left[ 1 + \left( \psi e^{\frac{1}{\lambda_{s,i}}} / w_i \right)^{\frac{\lambda_{s,i}}{m_i}} \right]^{-m_i} \quad (16)$$

که در این رابطه اندیس  $\bar{S}$  بیان‌گر این است که معادله می‌تواند در هر دو صفحه‌ی اصلی خشکشدنگی و ترشیدگی صدق کند. پارامتر  $\bar{S}$ ، بیان‌گر شیب مجانب منحنی در صفحه‌ی مکش - درجه‌ی اشباع (در مختصات نیمه‌لگاریتمی) زمانی که نسبت تخلخل خاک برابر یک است، تعریف می‌شود. گالیپولی و همکاران<sup>[۱۳]</sup> در سال ۲۰۱۵ با تعریف پارامتر مکش اصلاحی ( $\bar{S}$ ) مطابق رابطه‌ی ۱۷، توانستند فرم سه‌بعدی معادله‌ی ۱۶ را در صفحه‌ی مکش - درجه‌ی اشباع - نسبت تخلخل، به صورت دو بعدی بنویسند.

$$\bar{S} = \psi e^{\frac{1}{\lambda_{s,i}}} \quad (17)$$

در رابطه‌ی ۱۷، زمانی که پارامتر مکش اصلاح شده افزایش یابد، مسیرهای خشکشدنگی و وقتی که این پارامتر کاهش یابد، مسیرهای ترشیدگی منحنی نگهداشت آب - خاک نشان داده می‌شود. در نهایت با توجه به فرضیات ارائه شده، گالیپولی و همکاران<sup>[۱۴]</sup> توانستند ناحیه‌ی محدودی برای منحنی نگهداشت آب - خاک ارائه دهند که تمام مسیرهای بارگذاری موجود در داخل این ناحیه‌ی محدود شده مورد پذیرش و قابل دسترسی است. برای یافتن معادلات منحنی‌های نگهداشت پوشی که در داخل این نواحی محدود شده وجود دارند، فرض شده است که تغییرات درجه‌ی اشباع نسبت به مکش اصلاح شده در تمام مسیرهای خشکشدنگی و ترشیدگی منحنی نگهداشت آب - خاک، متناسب با تغییرات درجه‌ی اشباع نسبت به مکش اصلاح شده در سطوح اصلی خشکشدنگی و ترشیدگی است که این موضوع در رابطه‌ی ۱۸ نشان داده شده است.

$$\left( \frac{dS_r}{d\bar{S}} \right)_i = \left( \frac{\bar{S}}{S_i} \right)^{\beta_i} \left( \frac{dS_r}{d\bar{S}} \right)_{M_i} \quad (18)$$

در رابطه‌ی ۱۸،  $\beta_i$  پارامتر مدل است و  $\bar{S}$  بیان‌گر تصویر مکش اصلاح شده در سطوح اصلی ترشیدگی یا خشکشدنگی است. در نتیجه با انتگرال‌گیری از رابطه‌ی فوق می‌توان معادله تمام منحنی‌های نگهداشت پوشی را به دست آورد.

تا رایتمنو<sup>[۱۵]</sup> با توسعه‌ی مدل معروف ونگتوختن<sup>[۱۶]</sup> به بررسی اثرات تغییر نسبت تخلخل بر رفتار نگهداشت آب در خاک‌های تغییرشکل پذیر پرداخته است. با بررسی رفتار نگهداشت خاک‌های رسی با ارزاسازی شده در این پژوهش مشاهده می‌شود که

که منظور از  $\theta_w$  میزان رطوبت حجمی خاک در شرایطی است که همه‌ی حفرات با شعاع کمتر یا مساوی  $r$  از آب پر شده‌اند. چن و همکاران برای در نظر گرفتن اثرات غیریکنواختی در خاک، ضریبی به نام  $P_r$  معرفی کردند که مطابق رابطه‌ی ۱۳ به دست آمده است و به معنای نسبت حفرات کوچک‌تر از شعاع  $r$  به کل حفرات موجود در خاک است. با جایگزاری رابطه‌ی ۱۳ در رابطه‌ی ۱۴ می‌توان سهم حفرات بزرگ‌تر خاک را که توسط حفرات ریزتر مخصوص شده‌اند و در هین خشکشدنگی نمی‌توانند زهکشی شوند به دست آورد، در رابطه‌ی ۱۴ پارامتر  $n$  بیان‌گر تعداد حفرات متصل به یک حفره‌ی موجود در خاک معرفی می‌شود.

$$P_r = \frac{\int_{\log(r_{\min})}^{\log(r)} F(\log(r)) d\log(r)}{\int_{\log(r_{\min})}^{\log(r_{\max})} F(\log(r)) d\log(r)} \quad (13)$$

در رابطه‌ی ۱۳ عبارت  $F(\log(r))$  در واقع همانتابع چگالی اندازه‌ی حفرات واقعی خاک است که متفاوت از مقدار اندازه‌گیری شده توسط آزمایش تخلخل‌سنجدی نفوذ جیوه یعنی  $f(\log(r))$  است.

$$a = (1 - P_r) P_r^n \quad (14)$$

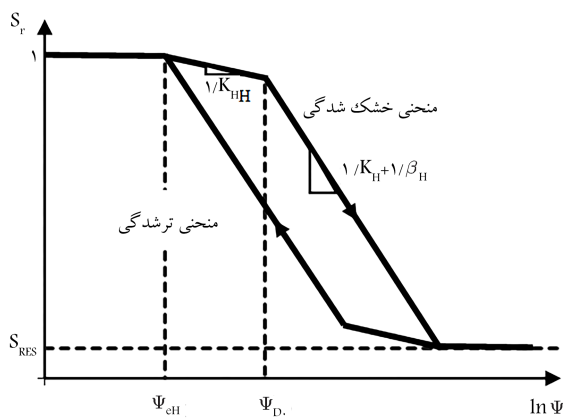
در نتیجه، میزان رطوبت حجمی آب زهکشی شده در شاخه‌ی خشکشدنگی منحنی نگهداشت به صورت رابطه‌ی ۱۵ بیان می‌شود:

$$\theta_i = \frac{\int_{\log(r)}^{\log(r_{\max})} F(\log(r)) d\log(r)}{\int_{\log(r_{\min})}^{\log(r_{\max})} F(\log(r)) d\log(r)} \quad (15)$$

همچنین به طور مشابه، می‌توان رابطه‌ی برای شاخه‌ی ترشیدگی منحنی نگهداشت آب - خاک نیز به دست آورد.

یکی از مشکلات روش‌های آزمایشگاهی به دست آوردن منحنی نگهداشت آب - خاک، زمان بر بودن این آزمایش‌هاست. سان و همکاران<sup>[۱۷]</sup> با رویکرد خلاقانه‌ی توانستند به کمک انجام تعداد محدودی آزمایش تخلخل‌سنجدی نفوذ جیوه، مدلی تحلیلی برای منحنی نگهداشت ارائه دهند که تاحدودی این مشکل را رفع می‌کند. در این پژوهش با بررسی نتایج آزمایش‌های تخلخل‌سنجدی نفوذ جیوه و منحنی نگهداشت، می‌توان فهمید که در نسبت تخلخل‌های حداقل خاک، نتایج این دو گروه از آزمایش‌ها مطابقت قابل قبولی با هم‌دیگر دارد.

پس با تعریف سطح مینا برای حالتی که نسبت تخلخل خاک به کمترین میزان خود می‌رسد (یا تغییرات حجمی خاک تقریباً در این نسبت تخلخل قابل صرف نظر کردن می‌شود) و انجام تعداد محدودی آزمایش تخلخل‌سنجدی نفوذ جیوه در نسبت تخلخل‌های مختلف، می‌توان تابعی در فضای سه‌بعدی، نسبت تخلخل - درجه‌ی اشباع - مکش، به دست آورد که قادر است تغییرات در ظرفیت نگهداشت آب در خاک برای شاخه‌ی خشکشدنگی منحنی نگهداشت خاک‌های تغییرشکل پذیر را بررسی کند. اما مشکل این رویکرد در پرهزینه بودن آزمایش تخلخل‌سنجدی نفوذ جیوه و همچنین بررسی نکردن پدیده‌ی هیستوزیس هیدرولیکی است.



شکل ۲. مدل الاستوپلاستیک منحنی نگهداشت آب - خاک.<sup>[۱۴]</sup>

$$dS_r^p = \frac{d\psi}{\beta_H \psi_D} \operatorname{sign} \left( \ln \left( \frac{\psi}{\psi_D} \right) + \frac{1}{2} \ln \left( \frac{\psi_{D^*}}{\psi_{eH}} \right) \right) \frac{\partial f}{\partial \psi} \quad (23)$$

که  $\beta_H$  ضریب فشردگی بخش خمیری درجهی اشباع است و به صورت زیر می‌توان آن را محاسبه کرد:

$$\ln \left( \frac{\psi_D}{\psi_{D^*}} \right) = \beta_H S_r^p \quad (24)$$

در این مدل، مکش متناظر با مقدار ورود هوا به صورت تابعی از حجم اسکلت خاک معروفی می‌شود. پس در خاک‌های تغییر شکل پذیر می‌توان تغییرات این مقدار مکش را با در نظر گرفتن تغییرات حجمی نمونه، مطابق رابطه ۲۵ به دست آورد.

$$\psi_{eH} = \psi_e + \pi_H \varepsilon_v \quad (25)$$

در رابطه‌ی فوق،  $\tau_H$  پارامتر مربوط به نوع خاک،  $\psi$  مقدار ورود هوای مرجع و  $\varepsilon_v$  کرش حجمی نمونه تعریف می‌شود. در نتیجه با یک رویکرد خلاقانه، نوٹ ولاوی موقن شده‌اند مدل تحلیلی متسابقی برای خاک‌های تغییر شکل پذیر ارائه دهند.

## ۲.۵. مدل‌های مبتنی بر ریزساختار خاک

در خاک‌های رسی متراکم شده، حفرات موجود در خاک را می‌توان به دو گروه حفرات بین دانه‌ی <sup>۸</sup> یا درشت‌حفرات و حفرات درون دانه‌ی <sup>۹</sup> یا ریز‌حفرات تقسیم کرد، که نقش مهمی در رفتار نگهداشت آب - خاک دارند. دیدون و همکاران <sup>[۱۵]</sup> با در نظر گرفتن مولینگی به عنوان فرایند غالب نگداشت آب در حفرات بین دانه‌ی و جذب به عنوان فرایند غالب نگداشت آب در حفرات درون دانه‌ی، مدلی برای بررسی رفتار نگهداشت آب در خاک‌های رسی متراکم شده ارائه دادند. خصوصیات قسمت ریز‌حفرات خاک مستقل از تراکم است؛ پس در بارگذاری‌های هیدرومکانیکی ثابت فرض می‌شود؛ اما این موضوع در رابطه با درشت‌حفرات خاک صادق نیست و حجم و اندازه‌ی حفرات بین دانه‌ی تغییر می‌یابد.

در این مدل، درجهی اشباع را می‌توان به صورت مجموعی از درجات اشباع مربوط به ریز‌حفرات ( $S_{rm}$ ) و درشت‌حفرات ( $S_{rM}$ ) خاک، مطابق رابطه ۲۶ نوشت. منظور از  $e_w$  منفذی به حجم دانه‌های خاک است که از دو بخش مربوط به ریز‌حفرات ( $e_{wm}$ ) و درشت‌حفرات ( $e_{wM}$ ) تشکیل می‌شود.

$$S_r = \frac{e_w}{e} = \frac{e_{wm}}{e} S_{rm} + \frac{e_{wM}}{e} S_{rM} \quad (26)$$

در مکش‌های متناظر با مقدار ورود هوا و بیشتر از آن، نسبت آب موجود در نمونه ( $e_w$ ) مستقل از نسبت تخلخل نمونه رفتار می‌کند. به طور مشابه برای نمونه‌های متراکم شده رسی نیز در مکش‌هایی که درشت حفرات خاک از آب خالی شده‌اند، نسبت آب موجود مستقل از نسبت تخلخل است. علاوه بر نتایج فوق مشاهده شده است که منحنی‌های خشک شدگی و ترشدگی اصلی در هر دو نوع نمونه بازسازی شده و متراکم شده وابسته به نسبت تخلخل اند به طوری که نمونه‌های با نسبت تخلخل کمتر عمده‌داری درجهی اشباع بیشتر و مکش متناظر با مقدار ورود هوا بیشتری دارند. همچنین می‌توان این نکته اشاره کرد که رفتار منحنی‌های اصلی خشک شدگی و ترشدگی مستقل از نوع بارگذاری هیدرومکانیکی و مکانیکی است. با توجه به مشاهدات فوق، تارانتینو مدل تحلیلی نگهداشت آب - خاک را مطابق رابطه ۱۹ پیشنهاد داده است که در این رابطه، a, b و n پارامترهای مدل‌اند. این رابطه برای هر دو شاخه خشک شدگی و ترشدگی منحنی نگهداشت برقرار است. محدودیت اصلی مدل تحلیلی تارانتینو، در عدم بررسی رفتار نگهداشت خاک‌های رسی با پلاستیسیته بالا و خاک‌های درشت‌دانه با درصد ریزدانه کم می‌باشد.

$$(S_r) = \left\{ 1 + \left[ \left( \frac{e}{a} \right)^{\frac{1}{b}} \psi \right]^n \right\}^{-\frac{b}{n}} \quad (19)$$

## ۲.۴. مدل‌های مبتنی بر سطح تسليم

نوٹ ولاوی <sup>[۱۴]</sup> با استفاده از مفاهیم مدل رفتاری الاستوپلاستیک، سطح تسليمی برای منحنی نگهداشت آب - خاک معرفی کرده‌اند که از مفهوم سخت شوندگی کینماتیکی برای تمایز بین شاخه خشک شدگی و ترشدگی (هیسترزیس هیدرومکانیکی) استفاده می‌کند. همچنین، تغییرات جزئی درجهی اشباع به دو صورت کشسانی و خمیری مطابق رابطه ۲۰ تعریف می‌شود.

$$dS_r = dS_r^e + dS_r^p \quad (20)$$

تغییرات جزئی درجهی اشباع کشسانی را می‌توان با توجه به شکل ۲ و با استفاده از رابطه ۲۱ محاسبه کرد.

$$dS_r^e = \frac{d\psi}{K_H \times (\psi/\psi_{eH})} \quad (21)$$

که منظور از  $\psi eH$  مکش متناظر با مقدار ورود هوا و  $K_H$  مشخصه مدول کشسانی خاک است. با توجه به شکل ۲ زمانی که مقدار مکش کمتر از  $\psi eH$  باشد، درجهی اشباع خاک برابر یک می‌شود. پس مقادیر درجهی اشباع کشسانی در مکش‌های بین  $\psi eH$  و مکش پسماند رخ می‌دهد، که این موضوع نشان دهنده وجود یک سطح تسليم در خاک است. معادله این سطح تسليم را می‌توان به صورت رابطه ۲۲ بیان کرد.

$$f = \left\| \ln(\psi) - \ln(\psi_D) + \frac{1}{2} [\ln(\psi_{D^*}) - \ln(\psi_{eH})] \right\| - \frac{1}{2} [\ln(\psi_{D^*}) - \ln(\psi_{eH})] \quad (22)$$

که در این رابطه،  $\psi$  مکش متناظر با تسليم شاخه خشک شدگی خاک تعریف می‌شود و تعییری مشابه با تنفس پیش تحکیمی دارد. همچنین باید اشاره کرد که با افزایش در مکش تسليم مرتع ( $\psi_{D^*}$ )، این مقدار هم تعییر می‌کند. قانون جریان متناظر با سطح تسليم کنونی را می‌توان مطابق رابطه ۲۳ تعریف کرد.

شود، می‌توان فرم تغییرات جزئی درجه‌ی اشباع خاک را به شکل رابطه‌ی ۳۱ نوشت.

$$\zeta = \frac{e_a}{e} \quad (30)$$

$$\begin{cases} dS_r = \zeta dS_r^a + (1 - \zeta) dS_r^c + (dS_r^a - dS_r^c) d\zeta \\ dS_r^c = dS_r^{ce} + dS_r^{cp} \\ dS_r^a = dS_r^{ae} + dS_r^{ap} \end{cases} \quad (31)$$

در این روابط، اندیس  $a$  به معنای جذب و اندیس  $c$  به معنای موئینگی و اندیس‌های  $e$  و  $p$  به ترتیب به معنای کشسانی و خمیری‌اند.

ژو و پنگ [۱۸] مدل تحلیلی برای منحنی نگهداری آب - خاک ارائه دادند که اثرات تشن خالص بر ساختار خاک را در نظر می‌گیرد. معمولاً در اکثر مدل‌های تحلیلی، تأثیرات تشن خالص فقط در پارامتر نسبت تخلخل لحاظ می‌شود در حالی که می‌توان مواردی یافت که نمونه‌های خاک با این‌که دارای نسبت تخلخل مشابهی هستند، ظرفیت نگهداری مختلفی دارند. این موضوع به علت تغییراتی است که در ساختار حفرات تحت اثر تشن وارد به وجود آمده است. منظور از ساختار حفرات، توزیع اندازه‌ی حفرات خاک، شکل حفرات خاک و جهت‌گیری آنهاست. با توجه به این‌که محدوده‌ی کشسانی خاک بسیار ناچیز است، می‌توان فهمید که حتی در تشن‌های ناچیز هم، خاک دچار تغییرشکل‌های خمیری می‌شود. در محدوده‌ی تغییرشکل‌های خمیری به طور کلی ساختار حفرات خاک تغییر می‌یابد و به تبع آن وضعیت نگهداری آب نیز تغییر خواهد یافت. ژو و پنگ با بررسی نتایج آزمایش تخلخل‌سنگی نفوذ جیوه روی نمونه‌های تحکیم یافته تحت مقدار تشن مختلف، دریافتند که در حین تحکیم، درشت‌حفرات خاک به میزان قابل توجهی تغییر می‌یابند اما توزیع ریزحفرات تقریباً ثابت باقی می‌ماند. در نتیجه می‌توان نسبت تخلخل خاک را به صورت مجموعی از نسبت تخلخل مربوط به ریزحفرات ( $e_m$ ) و نسبت تخلخل مربوط به درشت‌حفرات ( $e_M$ ) دانست. بر این اساس می‌توان متغیر حالت مربوط به ساختار خاک را به صورت رابطه‌ی ۳۲ تعریف کرد.

$$\zeta_m = \frac{e_m}{e} \quad (32)$$

در اثر اعمال تشن، با توجه به این‌که نسبت تخلخل مربوط به ریزحفرات خاک ثابت مانده است ولی نسبت تخلخل کل، کاهش می‌یابد، می‌توان فهمید که پارامتر فوق در اثر اعمال تشن، افزایش خواهد یافت. همچنین خاک‌های با ریزحفرات بیشتر، دارای مکش متناظر با مقادیر ورود هوای بیشتر و درصد رطوبت بیشتری خواهند بود. این اثر را می‌توان در پارامتر مربوط به مقادیر ورود هوا در مدل ون‌گنوختن [۱۹] به صورت رابطه‌ی ۳۳ در نظر گرفت.

$$a = m_r e^{-m_r} \left( \frac{\zeta_m}{\zeta_{ref}} \right)^{m_r} \quad (33)$$

که در این رابطه‌ی  $m_r$  مربوط به شرایطی است که تشن خالص برابر صفر باشد. برای به دست آوردن پارامتر  $m_r$ ، ژو و پنگ رابطه‌ی نیمه‌تجربی با درنظر گرفتن نتایج آزمایشگاهی به صورت زیر ارائه دادند.

$$\frac{\zeta_m}{\zeta_{ref}} = \left( 1 + \frac{p'}{P_{atm}} \right)^b \quad (34)$$

که در این رابطه  $p'$ ، فشار مؤثر میانگین،  $P_{atm}$  فشار اتمسفر و  $b$  پارامتر مدل است. در نتیجه با رابطه‌ی ۳۴ می‌توان اثرات تشن خالص بر ساختار حفرات خاک را در منحنی نگهداری آب - خاک در نظر گرفت اما برای به دست آوردن اثرات تشن

با فرض برقراری تعادل ترمودینامیکی بین ریزحفرات و درشت‌حفرات خاک، در محدوده‌ی ریزحفرات، می‌توان نسبت آب منفذی را با استفاده از معادله‌ی دوینین [۱۶] به صورت رابطه‌ی ۲۷ نوشت:

$$e_{wm} = e_m \exp \{ -[C_{ads} s]^{n_{ads}} \} \quad (27)$$

در رابطه‌ی فوق،  $C_{ads}$  و  $n_{ads}$  ثابت‌های مصالح هستند که پارامتر اول، کنترل‌کننده‌ی انحنای منحنی نگهداری است. برای بررسی بخش درشت‌حفرات خاک نیز می‌توان از رابطه‌ی ون‌گنوختن [۱۹] استفاده کرد. به کمک این رابطه، نسبت آب منفذی موجود در درشت‌حفرات خاک با استفاده از رابطه‌ی ۲۶ به دست می‌آید.

$$e_{wM} = (e - e_m) \left[ 1 + \left( \frac{\psi}{\alpha} \right)^n \right]^{-m} \quad (28)$$

ریزحفرات موجود در خاک بتنیت به میزان قابل توجهی وابسته به درصد رطوبت‌اند. در چرخه‌های خشک‌شدگی و ترشدگی منحنی نگهداری آب - خاک، ریزحفرات خاک و به تبع آن  $e_m$  دچار تغییرات می‌شوند. این تغییرات ساختاری را می‌توان توسط رابطه‌ی ۲۹ به دست آورد.

$$e_m = \beta_0 e_w^{\alpha} + \beta_1 e_w + e_m. \quad (29)$$

که در رابطه‌ی ۲۹،  $e_m$  نسبت تخلخل مربوط به ریزحفرات خاک برای مصالح خشک است و  $\beta_0$  و  $\beta_1$  پارامترهایی هستند که پتانسیل تورم دانه‌ها را مشخص می‌کنند. در نتیجه، مدل ارائه شده توسط دیدون و همکاران با سه دسته پارامتر قادر به مدل‌سازی منحنی نگهداری آب - خاک مربوط به رس‌های متراکم شده است.

چیائو و همکاران [۱۷] یک مدل الاستوپلاستیک برای خاک‌های مختلف ارائه دادند که دو سازوکار اصلی نگهداری آب در خاک یعنی موئینگی و جذب را در نظر می‌گیرد و ارتباط بین این دو سازوکار را از طریق پارامتری به نام عامل نسبیت، در خاک‌های مختلف برقرار می‌کنند. بر اساس این مدل، حفرات خاک را می‌توان به دو صورت حفرات مرتعی شکل (نمی‌باشد) و حفرات شکاف‌شکل (کوچک) تقسیم کرد. با در نظر گرفتن این دو گروه از حفرات در خاک، می‌توان دریافت که در یک شرایط هیدرولیکی معین، اهمیت نسبی هر یک از دو سازوکار نگهداری آب در خاک، به هندسه‌ی حفرات خاک وابسته است.

چیائو و همکاران با رویکردی مشابه با روش نوث و لالوئی [۱۸]، یک مدل الاستوپلاستیک مشابه شکل ۲ ارائه دادند که برای هر سازوکار نگهداری، بخش الاستوپلاستیک مدل بیان‌گر تغییرات برگشت‌پذیر درجه‌ی اشباع است و نشان‌دهنده‌ی رفتار تمام منحنی‌های نگهداری واقع در ناحیه‌ی محدود شده توسط منحنی‌های اصلی خشک‌شدگی و ترشدگی است. بخش الاستوپلاستیک مدل بیان‌گر تغییرات برگشت‌پذیر درجه‌ی اشباع است و نشان‌دهنده‌ی رفتار منحنی‌های اصلی است که در واقع مزدیهای ناحیه‌ی محدود شده را تشکیل می‌دهند. همچنین در این مدل، از رابطه‌ی سخت‌شوندگی کینماتیکی به منظور بررسی رفتار هیسترزیس هیدرولیکی در منحنی نگهداری آب - خاک استفاده می‌شود.

چنانچه عامل نسبیت برای منحنی نگهداری، مطابق رابطه‌ی ۳۰ به صورت

نسبت تخلخل مربوط به سازوکار جذب ( $e_a$ ) به نسبت تخلخل کل خاک تعریف

نظرگرفتن آب موجود در ریزحفرات خاک بنتونیت ارائه داده‌اند. به طور کلی در صد رطوبت مربوط به ریزحفرات خاک را می‌توان توسط رابطه<sup>۴۰</sup> به دست آورد.

$$w_m = w_{mC} + \Delta w_{mO} \quad (40)$$

در این رابطه<sup>w\_{mC}</sup> سهمی از درصد رطوبت است که مربوط به ریزحفرات است و به فرایند کربیستاله شدن مربوط می‌شود. برای به دست آوردن این پارامتر می‌توان از رابطه<sup>۴۱</sup> استفاده کرد که در این رابطه، A مدول ثابت هامکر است که توسط اد و تولو<sup>[۲۲]</sup> توصیف شده است،  $\psi_m$  مکش ریزاساختاری،  $S_s$  سطح مخصوص رس و  $\rho_{w_m}$  چگالی آب جذب سطحی در ریزحفرات خاک است که از چگالی آب آزاد کمی بیشتر است.

$$w_{mC} = \sqrt{\frac{A}{6\pi\psi_m}} S_s \rho_{w_m} \quad (41)$$

همچنین در رابطه<sup>۴۰</sup> عبارت  $\Delta w_{mO}$  مربوط به اثرات تورم اسمزی (یا تورم لایه‌ی آب دوگانه) است که در مکش‌های کم افق می‌افتد. برای محاسبه‌ی این عبارت می‌توان از رابطه<sup>۴۲</sup> استفاده کرد که در این رابطه، B پارامتر مصالح،  $\psi_{mO}$  مکش مربوط به بخش ریزحفرات خاک است که در آن تورم اسمزی، فراپند غالب است و  $P_{ATM}$  فشار اتمسفر است.

$$\Delta w_{mO} = -B \ln \left( \frac{\psi_m + P_{ATM}}{\psi_{mO} + P_{ATM}} \right) \quad (42)$$

در نتیجه با محاسبه‌ی درصد رطوبت مربوط به ریزحفرات خاک با توجه به رابطه<sup>۴۰</sup> نسبت تخلخل مربوط به ریزحفرات خاک را می‌توان به کمک رابطه<sup>۴۳</sup> به دست آورد.

$$e_m = G_s w_m \quad (43)$$

به طور کلی استفاده از روابط فوق فقط زمانی می‌تواند کارساز باشد که اطلاعات کافی از خاک مورد نظر در دسترس باشد.

در خاک‌های غیرآشپاع، منحنی نگهداشت خشکشده‌گی و ترشیدگی، به دلیل پدیده‌ی هیسترزیس هیدرولیکی بر هم منطبق نمی‌شوند و به میزان قابل توجهی از هم فاصله دارند. علت هیسترزیس را می‌توان در دو سازوکار اصلی نگهداشت آب در خاک یعنی موئینگی و جذب سطحی جستجو کرد. به طور کلی مواردی که در سازوکار موئینگی سبب بروز این پدیده می‌شوند، عبارت‌اند از: اثر بطری جوهر، پدیده‌ی سالخوردگی خاک، اثرات هوای به دام افتاده، تغییرات در زاویه‌ی تماسی و اثرات بخار آب. همچنین در سازوکار جذب سطحی نیز می‌توان به مواردی همچون دما، میزان رس موجود در خاک و سطح مخصوص خاک اشاره کرد.<sup>[۲۳-۲۴]</sup> را و همکاران<sup>[۲۵]</sup> با بررسی دو عامل اثر بطری جوهری و هوای به دام افتاده، توانستند اثرات پدیده‌ی هیسترزیس هیدرولیکی را در رفتار نگهداشت آب در خاک به دست آورند. اثر بطری جوهر به دلیل اشکال بی‌قاعده و اندازه‌های متفاوت حفرات به هم پیوسته خاک ایجاد می‌شود. در شرایطی که یک حفره‌ی بزرگ با شعاع R توسط حفرات کوچک‌تر با شعاع r احاطه یابند، فرایند خشکشده‌گی به شعاع r و فراپند ترشیدگی به شعاع R وابسته خواهد بود.<sup>[۲۶-۲۷]</sup> بس مقدار کاهش در پارامتر میزان رطوبت حجمی منحنی نگهداشت اولیه‌ی خاک به دلیل اثر بطری جوهر را می‌توان به کمک رابطه<sup>۴۴</sup> محاسبه کرد. در این رابطه<sup>۴۱</sup> تغییرات در میزان رطوبت حجمی،  $\theta_s^d$  میزان رطوبت حجمی شاخه‌ی خشکشده‌گی خاک،  $\theta_m^d$  میزان رطوبت حجمی در حالت اشباع،

خالص بر نسبت تخلخل خاک، می‌توان از رابطه‌ی معروف مدل رفتاری آلونسو و همکاران<sup>[۱۹]</sup> به صورت زیر استفاده کرد.

$$de = -\alpha_p \frac{dp}{p_r + p} - \alpha_s \frac{dp}{P_{atm} + \psi} \quad (45)$$

در این رابطه p تشن خالص میانگین و  $p_r$  فشار مرجع است که معمولاً برابر با یک کیلوپاسکال فرض می‌شود.  $\alpha_p$  بیان‌گر فشرده‌گی خاک تحت اثر تشن خالص میانگین و  $\alpha_s$  بیان‌گر فشرده‌گی خاک تحت اثر مکش است. در نهایت با استفاده از روابط<sup>۳۳</sup> و <sup>۳۵</sup> و استفاده از مدل ونگنوختن می‌توان رابطه‌ی جدیدی برای منحنی نگهداشت آب - خاک ارائه کرد که علاوه بر در نظر گرفتن تغییرات نسبت تخلخل تحت اثر تشن خالص، اثرات تغییر در ساختار حفرات را نیز در نظر می‌گیرد. در این رابطه، ۷ پارامتر وجود دارد که از طریق آزمایش نگهداشت قابل محاسبه است. مزیت این مدل در این است که نیاز به انجام آزمایش‌های همچون تخلخل سنجی نفوذ جیوه که چندان رایج نیست، نمی‌باشد.

پهارت و گپاک<sup>[۲۰]</sup> در پژوهشی به بررسی شاخه‌ی خشکشده‌گی منحنی نگهداشت آب - خاک در نمونه‌های بنتونیت در شرایط حجم ثابت پرداخته‌اند. مدل تحلیلی ارائه شده بر مبنای مدل کوچس<sup>[۲۱]</sup> است که فقط برای خاک‌هایی که دارای تغییرات حجم ناچیزی هستند، کارایی دارد. با توجه به این مدل، رابطه‌ی میان درجه‌ی اشباع ( $S_e$ ) و مکش برای سازوکار موئینگی در بنتونیت به صورت رابطه<sup>۳۶</sup> تعریف می‌شود.

$$S_e = 1 - \left[ \left( \frac{\psi_{co}}{\psi} \right)^r + 1 \right]^m \exp \left[ -m \left( \frac{\psi_{co}}{\psi} \right)^r \right] \quad (46)$$

که در این رابطه m پارامتر تجربی و  $\psi_{co}$  مکش معادل موئینگی است که بر اساس رابطه‌ی اصلاح شده‌ی یانگ - لاپلاس به صورت زیر تعریف می‌شود.

$$\psi_{co} = T_s \cos \alpha \frac{\rho_s S_s}{e} \quad (47)$$

در این رابطه،  $T_s$  کشش سطحی آب،  $\alpha$  زاویه‌ی تماس بین آب و سطح ذرات خاک،  $\rho_s$  چگالی دانه‌های جامد خاک،  $S_s$  سطح مخصوص خاک و e نسبت تخلخل است. درجه‌ی اشباع متناظر با فرایند جذب ( $S_e$ ) نیز بر اساس تعادل دینامیکی درصد رطوبت نمونه در ناحیه‌ی جذب، مطابق رابطه<sup>۳۸</sup> تعریف می‌شود.

$$S_e = a_c C_h \frac{\left( \frac{\psi_{co}}{\psi_n} \right)^{\frac{r}{r}}} {e^{\frac{1}{r}} \left( \frac{\psi_{co}}{\psi_n} \right)^{\frac{1}{r}}} \quad (48)$$

که در این رابطه a<sub>c</sub> پارامتر تجربی این مدل،  $\psi_n$  پارامتر بی‌بعدساز (برابر ۱kPa است) و C<sub>h</sub> پارامتر مربوط به رابطه‌ی فردلاند و زینگ<sup>[۱۸]</sup> است که در رابطه<sup>۱۰</sup> معرفی شده است. در نهایت درجه‌ی اشباع کل نمونه بنتونیت در شرایط حجم ثابت در شاخه‌ی ترشیدگی را می‌توان با استفاده از رابطه<sup>۳۹</sup> به دست آورد.

$$S_r = S_e + S_a (1 - S_e) \quad (49)$$

به طور کلی ضعف اساسی این پژوهش عدم بررسی رفتار هیسترزیس نمونه‌های بنتونیت است. همچنین از مدل ارائه شده نمی‌توان برای بررسی رفتار نمونه‌های بنتونیت دانه‌ای که ظرفیت نگهداشت کمتری در حضور نمک دارند، استفاده کرد. ناوارو و همکاران<sup>[۲۲]</sup> با مشاهده‌ی این موضوع که بیشتر سهم نگهداشت آب در خاک بنتونیت، مربوط به ریزحفرات خاک و سازوکار جذب است، رابطه‌یی برای در

می شود. چهارم، غلظت زیست بسپار در داخل خاک ثابت فرض می شود و پنجم، تورم زیست بسپار در فرایند ترشیدگی موجب افزایش حجم خاک می شود. البته باید اشاره کرد که مدل حاضر، قادر به در نظر گرفتن اثرات اندرکنش بین مواد بیوشیمیایی و لایه دوگانه رس نیست. با توجه به این فرضیات می توان مقدار نگهداشت آب توسط زیست بسپار را با در نظر گرفتن اثرات اندرکنش خاک و زیست بسپار به صورت دست آورد. پس می توان رابطه میان مکش و روابط وزنی - حجمی را به صورت زیر نوشت.

$$f_{w(p)} = \frac{M_{w(p)}}{M_p} = \frac{a}{1 + \psi^b} C_{in} \quad (47)$$

$$e_{w(p)} = \frac{V_{w(p)}}{V_s} = \left( \frac{M_p}{M_s} \right) \frac{a}{1 + \psi^b} G_s C_{in} \quad (48)$$

در این روابط،  $G_s$  چگالی دانه های خاک،  $a$  و  $b$  پارامترهای مدل و  $C_{in}$  ضریب اندرکنش بین دانه های خاک و زیست بسپار است که بر اساس رابطه ۴۹ به دست می آید.

$$C_{in} = \frac{1}{1 + \left( \left( \frac{M_p}{M_s} \right) \frac{a}{1 + \psi^b} G_s / e_{w(p)} \right)^c} \quad (49)$$

در رابطه ۴۹،  $C$  پارامتر مربوط به اندرکنش ذرات خاک و زیست بسپار است و همچنین  $e_{w(p)}$  نسبت تخلخل اولیه خاک نمونه خاک یعنی زمانی که  $e_{w(p)}$  صفر است، معرفی می شود. برای به دست آوردن مقدار نگهداشت آب در داخل حفرات خاک نیز می توان از رابطه ارائه شده توسط گالیولو و همکاران<sup>[۱۰]</sup> استفاده کرد که در این مدل به صورت رابطه ۵۰ قابل بازنویسی است. که مقادیر مختلف  $m$  در این رابطه، پارامترهای این مدل اند.

$$f_w(s) = \frac{M_{w(s)}}{M_s} \\ = (1 + (\psi / m_r e^{-m_r}) m_r)^{-m_r} \frac{e}{G_s} \quad (50)$$

در نهایت رابطه میان درصد رطوبت و مکش برای خاک اصلاح شده با زیست بسپار را می توان به کمک رابطه ۵۱ به دست آورد.

$$w = \frac{f_{w(s)} + \left( \frac{M_p}{M_s} \right) f_{w(p)}}{1 + \left( \frac{M_p}{M_s} \right)} \quad (51)$$

در نتیجه می توان منحنی نگهداشت آب - خاک را با در نظر گرفتن اندرکنش بین خاک و زیست بسپار به دست آورد. باید یادآوری کرد که ضعف بزرگ مدل ژو و چن در این است که تغییرات در توزیع اندازه حفرات خاک و اندرکنش بین مواد بیوشیمیایی و لایه دوگانه ذرات خاک در این مدل لحاظ نشده است. به طور کلی می توان گفت که زیست بسپار سبب افزایش ظرفیت نگهداشت آب می شوند. پنگ و همکاران<sup>[۱۰]</sup> یک مدل تحلیلی نوین با در نظر گرفتن اثرات ریشه گیاهان ارائه داده اند. ریشه گیاهان به دلیل اشغال کردن حفرات موجود در خاک و بقای آن تغییرات در اندازه حفرات، موجب تغییرات در ساختار خاک می شود و در نتیجه وضعیت نگهداشت آب در خاک های مختلف را تحت تأثیر قرار می دهد. پس با در نظر گرفتن اثرات ریشه گیاهان می توان نسبت تخلخل خاک را به صورت رابطه ۵۲ نوشت.

$$e = \frac{e_0 - R_v (1 + e_0)}{1 + R_v (1 + e_0)} \quad (52)$$

میزان رطوبت حجمی متناظر با مکش نمونه قبل شروع فرایند ترشیدگی تعریف می شود.

$$\Delta\theta_1 = [\theta_s^d - \theta^d] [\theta_s^d - \theta_m^d] \quad (44)$$

همچنین در رابطه با اثر هوای به دام افتاده در خاک باید توجه کرد که در مکش های کم، فاز هوای پیوسته و در مکش های بالا، فاز هوای پیوسته است و به طور کلی در فاز هوای پیوسته، میزان هوای به دام افتاده کمتر است. در نتیجه، منحنی خشک شدنی همواره درصد رطوبت بیشتری نسبت به منحنی ترشیدگی دارد.<sup>[۲۸ و ۲۷]</sup> در نهایت مقدار کاهش در پارامتر میزان رطوبت حجمی منحنی نگهداشت اولیه خاک به دلیل اثر هوای به دام افتاده را می توان به کمک رابطه ۴۵ محاسبه کرد. در این رابطه  $a$  ضریب اثر هوای به دام افتاده است و دارای محدوده  $0/۹۰$  تا  $۰/۷۵$  می باشد. همچنین  $\alpha^d$ ,  $n^d$  و  $m^d$  پارامترهای مدل مربوط به شاخه خشک شدنی است.

$$\Delta\theta_2 = (1 - a) \theta_s^d \left[ 1 + \left( \alpha^d \psi \right)^{n^d} \right]^{-m^d} \quad (45)$$

در نهایت، با توجه به دو اثر فوق می توان مطابق رابطه ۴۶، منحنی ترشیدگی اولیه خاک ( $\theta^w$ ) را از منحنی خشک شدنی اولیه خاک ( $\theta^d$ ) به دست آورد.

$$\theta^w = \theta^d - \Delta\theta_1 - \Delta\theta_2 \quad (46)$$

## ۶. مدل های مربوط به محیط های چند فازه

در این بخش به معرفی مدل های تحلیلی منحنی نگهداشت آب - خاک در محیط های چند فازه پرداخته می شود. منظور از محیط های چند فازه این است که علاوه بر ذرات خاک، آب حفره بی و هوای حفره بی مواد دیگری نیز در ساختار خاک وجود دارد که بر رفتار نگهداشت خاک های مختلف تأثیرگذار است. در ادامه به این گروه از مدل ها پرداخته می شود.

ژو و چن<sup>[۲۹]</sup> مدل تحلیلی برای خاک های بهسازی شده با زیست بسپار ۱۰° ارائه داده اند. زیست بسپار به منظور کاهش نفوذ پذیری خاک ها و در نتیجه کترل مسیر جریان نفت در صنایع پتروشیمی کاربرد دارند. این مواد قادر به تعییر در ساختار حفرات خاک و در نتیجه رفتار نگهداشت آب در خاک هستند. باید توجه شود که زیست بسپار همانند خاک قادر به نگهداشت آب آن و عدمتا با جذب آب متوجه می شوند و تقابل به تعییر حجم خاک دارند. ولی میزان تورم زیست بسپار توسط ذرات خاک محدود می شود.

در این رویکرد،  $M_s$  جرم کل ذرات خاک،  $M_p$  جرم خشک زیست بسپار،  $M_{w(s)}$  و  $M_{w(p)}$  به ترتیب جرم آب موجود در بین ذرات خاک و زیست بسپار و جرم آب ذخیره شده در داخل زیست بسپار معرفی می شود. همچنین  $V_s$  حجم کل ذرات خاک،  $V_a$  حجم هوای حفره بی،  $V_p$  حجم کل زیست بسپار ( $V_{w(s)}$ ) و  $V_{w(p)}$  به ترتیب حجم آب موجود بین ذرات خاک و زیست بسپار و حجم آب ذخیره شده در داخل زیست بسپار معرفی می شود. برای به دست آوردن منحنی نگهداشت آب در این پژوهش فرضیاتی در نظر گرفته شده است که در ادامه به آن پرداخته می شود. نخست، زیست بسپار در هر محدوده ای از مکش، اشباع فرض می شوند. دوم، چگالی آب جذب شده توسط زیست بسپار با چگالی آب موجود در حفرات خاک یکسان است. سوم، در این مدل برای سهولت کار فقط از مکش ماتریسی استفاده

همچنین در مدت زمان نسبتاً طولانی که جریان گذرا تقریباً از بین رفته و شرابیت تعادل ایجاد شده است (عنی دیگر مایعی از جاذب هدر نمی‌رود) می‌توان رابطه‌ی ۵۴ را به صورت رابطه‌ی زیر نوشت.

$$U_e = \frac{A\varphi P_c}{gm_s} \quad (55)$$

در نتیجه اختلاف دو رابطه‌ی ۵۴ و ۵۵ بیان‌گر میزان کل هدر رفت مایع از جاذب است که به صورت رابطه‌ی زیر بیان می‌شود.

$$U_L = U_s - U_e \quad (56)$$

در نهایت، ظرفیت جذب را می‌توان به صورت کلی زیر نوشت.

$$U_t = U_L \exp(-Kt) + U_e \quad (57)$$

که در این رابطه، پارامتر K را اصطلاحاً ضرب کمان می‌نامند که توسط رابطه‌ی ۵۸ تعریف می‌شود.

$$K = \frac{k\rho g}{\mu H} \quad (58)$$

### ۳. مقایسه‌ی عملکرد برخی از مهم‌ترین مدل‌ها

در این بخش به مقایسه‌ی عملکرد برخی از مهم‌ترین مدل‌های نگهداشت مربوط به گروه‌های معرفی شده در بخش قبل پرداخته می‌شود. برای نیل به این هدف، از مدل معروف ونگنوختن<sup>[۶]</sup> به عنوان مبنای برای مقایسه‌ی عملکرد سایر مدل‌ها استفاده می‌شود؛ زیرا این مدل در متون فنی بسیار استفاده شده و از مقبولیت بیشتری نسبت به سایر مدل‌های کلاسیک برخوردار است. گروه دوم مدل‌ها مبتنی بر تغییرات توزیع اندازه‌ی حفرات است که غالباً بر انجام آزمایش تخلخل‌سنگی نفوذ جیوه استوار است. برای مقایسه‌ی عملکرد مدل‌های این گروه، مطابق شکل ۳ برای یک نمونه خاک رسی موسم به بوم کاری<sup>[۷]</sup> از مدل‌های هو و همکاران<sup>[۸]</sup> و مدل چن و همکاران<sup>[۹]</sup> استفاده شده است. خاک مورد مطالعه دارای نسبت تخلخل اولیه (e.) ۰/۵۹ است که برای مدل‌های اشاره شده با استفاده از روابط ۱۱، ۳ و ۱۵ می‌توان پارامترهای مورد نظر را مطابق جدول ۱ به دست آورد. در این جدول باید اشاره کرد که  $\varphi$  قابلیت فشرده‌گی خاک تحت اثر مکش است که در رابطه‌ی ۳۵ معرفی شده است و K یک پارامتر رفتاری است که بسته به نوع خاک از آزمایش تخلخل‌سنگی نفوذ جیوه به دست می‌آید که توسط چن و همکاران<sup>[۱۰]</sup> برای کالیبراسیون مدل استفاده شده است.

با توجه به شکل ۳، به وضوح مشخص است که مدل هو و همکاران<sup>[۱۱]</sup> از دقت بالاتری نسبت به مدل چن و همکاران<sup>[۱۰]</sup> برخوردار است. علت این موضوع مربوط به محدودیت‌های آزمایش تخلخل‌سنگی نفوذ جیوه است. این آزمایش به دلیل محدودیت‌کمیته و بیشینه اعمال فشار نمی‌تواند به خوبی توزیع اندازه‌ی حفرات بسیار ریز یا درشت خاک را در نظر بگیرد که این موضوع منجر به آن می‌شود که نسبت تخلخل به دست آمده از این آزمایش همواره کمتر از نسبت تخلخل اصلی نمونه باشد.<sup>[۱۲]</sup> پس مدل چن و همکاران<sup>[۱۰]</sup> که فقط با استفاده از نتایج به دست آمده از آزمایش تخلخل‌سنگی نفوذ جیوه منحنی نگهداشت را پیش‌بینی می‌کند، کمی با مقدار اندازه‌گیری شده اختلاف دارد، اما این در حالی است که در مدل هو و همکاران<sup>[۱۱]</sup>، از نتایج آزمایش تخلخل‌سنگی نفوذ جیوه و تغییرات حجمی نمونه در حین خشک‌شدنگی نمونه استفاده شده است که ضمن بررسی اثرات بارگذاری

در این رابطه  $R_v$  نسبت حجمی ریشه‌ی گیاهان است که طبق تعریف برابر با حجم کل ریشه‌ی گیاهان به واحد حجم خاک است و  $e$  نسبت تخلخل زمین‌های بدون پوشش گیاهی است. با استفاده از رابطه‌ی ۵۲ و مدل گالبیولی و همکاران<sup>[۱۳]</sup>، می‌توان مدل تحلیلی نگهداشت آب در زمین‌های دارای پوشش گیاهی را با در نظر گرفتن اثرات ریشه‌ی گیاهان به دست آورد. نتایج مدل حاضر نشان می‌دهد که ریشه‌ی گیاهان، موجب افزایش مقدار ورود هوا می‌شود، اما نخ دفع آب در شاخه‌ی خشک‌شدنگی تغییرات ناچیزی دارد. همچنین ظرفیت نگهداشت آب به میزان ناچیزی افزایش می‌یابد. از جمله ضعف‌های مدل حاضر این است که تغییرات در ریساناختار خاک در حین فرایند خشک‌شدنگی و ترشیگی در این مدل لحاظ نمی‌شود و فقط برای خاک‌هایی همچون سیلت و ماسه که دارای پلاستیسیته‌ی کمی هستند، مناسب است.

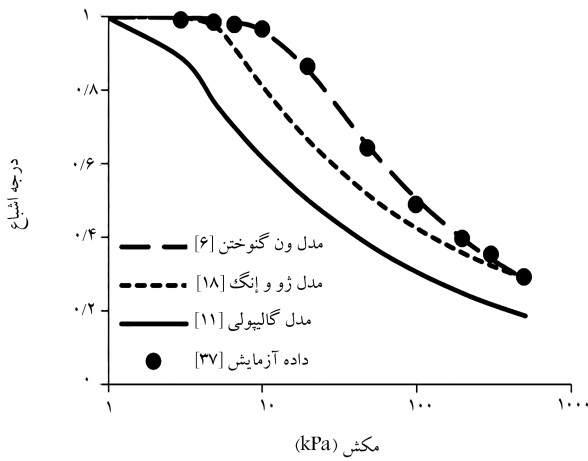
**۷.۲. مدل‌های مربوط به نگهداشت جاذب‌ها**  
بازارگان و همکاران<sup>[۱۴]</sup>، مدل تحلیلی برای نگهداشت طیف گسترده‌ی از مایعات یا جذب‌شونده<sup>[۱۵]</sup> در انواع گوناگون جاذب‌ها<sup>[۱۶]</sup> ارائه دادند، به طوری که در ۶۳ ترکیب جاذب و جذب‌شونده مدل مورد نظر صحبت‌سنگی شده است. جاذب‌ها مصالحی هستند که توانایی قابل توجهی در جذب برخی از مایعات دارند و عموماً از آنها برای جذب نفت و سایر مواد خطرناک از روی سطح آب استفاده می‌شود. در نتیجه مدل مذکور از لحاظ مرتفع ساختن نگرانی‌های زیست‌محیطی بسیار کارامد است.<sup>[۱۷]</sup> برای محاسبه‌ی ظرفیت جذب یا نگهداشت در جاذب‌های مختلف می‌توان از آزمایش جذب استفاده کرد. در این آزمایش در مرحله‌ی اول، وزن جاذب خشک اندازه‌گیری می‌شود. سپس در مرحله دوم، جاذب را در داخل مایع مورد نظر غوطه‌ور می‌سازند تا زمانی که جاذب به حد اشباع خود برسد. در مرحله‌ی سوم، جاذب از محیط مایع خارج می‌شود اما در حین این مرحله، مقداری از مایع جذب شده تحت گرانش خارج می‌شود. در ابتدا میزان هدر رفت مایع از سطح جاذب با نزد زیادی صورت می‌گیرد، اما با گذر زمان شرایط تعادلی حاکم می‌شود و دیگر مایعی از جاذب خارج نخواهد شد (مرحله‌ی چهارم). برای محاسبه‌ی میزان مایع از دست رفته در این حالت گذرا می‌توان فرض کرد که مایع به صورت یک بعدی و فقط در راستای قائم از جاذب خارج می‌شود و همچنین نیروی مؤثر در هدرافت مایع، نیروی ناشی از وزن است.

چنانچه H ارتفاع اولیه‌ی مایع موجود در داخل جاذب باشد و نفوذپذیری ذاتی و فشار مؤثینگی ثابت فرض شوند، می‌توان مقدار ارتفاع مایع درون جاذب در زمان‌های مختلف را به صورت زیر نوشت.

$$z(t) = \left(H - \frac{P_c}{\rho g}\right) \exp\left(-\left(\frac{k\rho g}{\mu H}\right)^t\right) + \left(\frac{P_c}{\rho g}\right) \quad (53)$$

در رابطه‌ی  $P_c$ ،  $5/3$  فشار مؤثینگی،  $\rho$  چگالی سیال جذب شده، k ضریب نفوذپذیری هیدرولیکی جاذب،  $\mu$  ویسکوزیته‌ی سیال و  $g$  شتاب گرانش زمین است. در نتیجه، می‌توان ظرفیت جذب که طبق تعریف برابر است با نسبت جرم آب جذب شده به جرم قسمت جامد ( $m_s$ ) را در هر لحظه توسط رابطه‌ی ۵۴ به دست آورد. در این رابطه،  $\varphi$  بیان‌گر حجم حفرات موجود در جاذب به حجم کل جاذب و A سطح مقطع جاذب است.

$$U_s = \frac{\rho A \varphi H}{m_s} \quad (54)$$



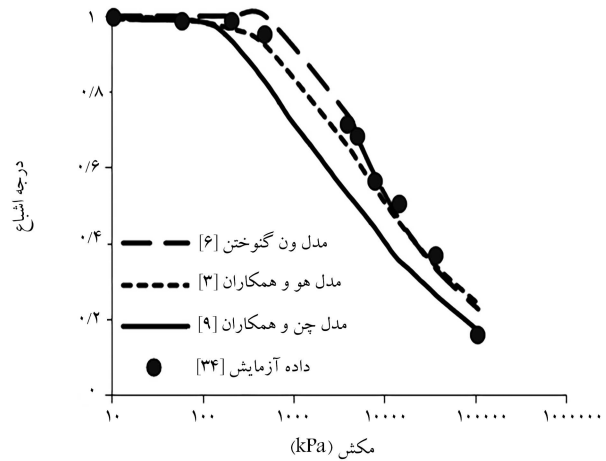
شکل ۴. مقایسه‌ی مدل‌های ون‌گنوختن<sup>[۶]</sup>، ژو و پنگ<sup>[۱۸]</sup> و گالییولی<sup>[۱۱]</sup> برای خاک ماسه‌ی سیلیتی<sup>[۳۷]</sup> در آزمایش خشک شدگی.<sup>[۱۸]</sup>

جدول ۲. پارامترهای مورد استفاده برای مدل‌های ون‌گنوختن<sup>[۶]</sup>، ژو و پنگ<sup>[۱۸]</sup> و گالییولی<sup>[۱۱]</sup> برای خاک ماسه‌ی سیلیتی.<sup>[۳۷]</sup>

	پارامترهای مدل	گروه مدل	مدل
m	$0/024$		
n	$14/92$	اول	ون‌گنوختن <sup>[۶]</sup>
a	$5/89 \times 10^{-4}$		
m	$0/04$		
n	$7/60$		
$m_T$	$0/30$		
$m_4$	$0/54$	پنجم	ژو و پنگ <sup>[۱۸]</sup>
$m_m$	$0/50$		
$\alpha_s$	$0/04$		
$\alpha_p$	$0/018$		
$\lambda_s$	$0/30$		
m	$0/04$	سوم	گالییولی <sup>[۱۱]</sup>
$\omega$	$0/30$		

نسبت به مدل‌های مبتنی بر ریزساختار خاک، دارای دقت کمتری هستند و علت این موضوع به تغییرات ساختار خاک در حین بارگذاری هیدرومکانیکی مربوط می‌شود که به طور خاص نسبت تخلخل نمی‌تواند معروف این ویژگی باشد.<sup>[۱۴]</sup> پس در مقایسه با مدل‌های مبتنی بر تغییرات نسبت تخلخل، مدل‌های مبتنی بر ساختار خاک ارجحیت دارند و نتایج قابل قبولی برای طیف گستردگی از خاک‌ها را ارائه می‌دهند. مشابه حالت قبل، می‌توان مشاهده کرد که مدل ون‌گنوختن<sup>[۶]</sup> به خوبی می‌تواند داده‌های به دست آمده ازین آزمایش را بازش دهد که این نشان از توانایی بالای این مدل در مدل‌سازی منحنی نگهداشت دارد.

یکی از خصوصیات قابل توجه خاک‌ها، در تفاوت رفتار آنها در قابل و پس از تسخیم حین بارگذاری هیدرومکانیکی است. این موضوع در مدل‌سازی منحنی نگهداشت با عنوان مدل‌های مبتنی بر سطح تسخیم که در گروه چهارم مدل‌های بخش دوم معرفی شده‌اند، لحاظ می‌شود. یکی از مدل‌های مربوط به این گروه، مدل نوٹ و لاوئی<sup>[۱۴]</sup> است که البته فقط برای خاک‌های درشت‌دانه قابل بررسی است



شکل ۳. مقایسه‌ی مدل‌های ون‌گنوختن<sup>[۶]</sup>، هو و همکاران<sup>[۳]</sup> و ژن و همکاران<sup>[۹]</sup> برای خاک رسی بوم‌کلی<sup>[۳۴]</sup> در آزمایش خشک شدگی.<sup>[۳۴]</sup>

جدول ۱. پارامترهای مورد استفاده برای مدل‌های ون‌گنوختن<sup>[۶]</sup>، هو و همکاران<sup>[۳]</sup> و ژن و همکاران<sup>[۹]</sup> برای خاک رسی بوم‌کلی.<sup>[۳۴]</sup>

	پارامترهای مدل	گروه مدل	مدل
m	$0/024$		
n	$14/92$	اول	ون‌گنوختن <sup>[۶]</sup>
a	$5/89 \times 10^{-4}$		
m	$0/37$		
n	$0/62$		
$k_p$	$6/68$	دوم	هو و همکاران <sup>[۳]</sup>
$\beta_d$	$1/37 \times 10^{-5}$		
$e_o$	$0/59$		
$\alpha_s$	$0/05$	دوم	ژن و همکاران <sup>[۹]</sup>
K	$13/60$		

مکانیکی، محدودیت‌های آزمایش تخلخل‌سنجی نفرذ جیوه را نیز رفع کرده است و نتایج دقیق‌تری ارائه می‌دهد. علاوه بر دو مدل فوق، می‌توان مشاهده کرد که مدل ون‌گنوختن<sup>[۶]</sup> به خوبی می‌تواند نتایج آزمایش بازش پیدا کند و دارای انعطاف‌پذیری مناسب و دقت بسیار بالایی است. البته در حوالی مکش ورود‌ها، مقادیر بیش از ۱ را پیش‌بینی می‌کند که غیرواقعی است و با ماهیت رفتار فیزیکی سنتیتی ندارد.

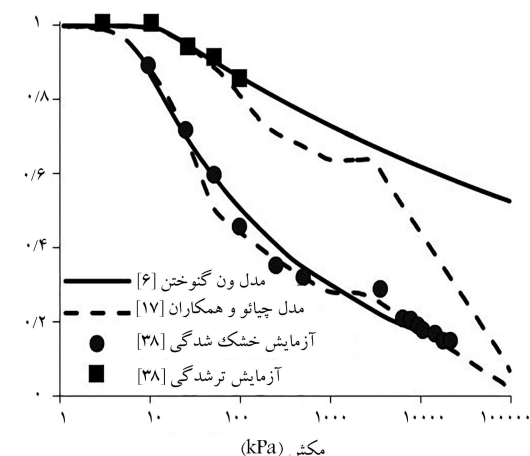
در گروه سوم مدل‌های نگهداشت معرفی شده در بخش دوم این پژوهش، به مدل‌های مبتنی بر تغییرات نسبت تخلخل پرداخته شده است. عملکرد این مدل‌ها عموماً در مقایسه با مدل‌های مبتنی بر ریزساختار خاک که در گروه پنجم معرفی شده‌اند، بررسی می‌شود که نمونه‌ی از آن در شکل ۴ نشان داده شده است.

بدین منظور از یک نوع خاک ماسه‌ی سیلیتی که در پژوهش لی و همکاران<sup>[۳۷]</sup> گزارش شده است، برای مقایسه‌ی عملکرد سه مدل ون‌گنوختن<sup>[۶]</sup>، ژو و پنگ<sup>[۱۸]</sup> و گالییولی<sup>[۱۱]</sup> استفاده شده است. پارامترهای موجود در این سه مدل که به ترتیب در ۳۵، ۳۶ و ۱۶ معرفی شده‌اند، در جدول ۲ خلاصه و گزارش شده است. با توجه به شکل فوق، مشاهده می‌شود که مدل‌های مبتنی بر تغییرات نسبت تخلخل،

جدول ۳. پارامترهای مورد استفاده برای مدل‌های ون‌گنوختن [۱۶]، چیائو و همکاران [۱۷] برای خاک بنتونیت ماسه‌بی. [۲۸]

	پارامترهای مدل	گروه مدل	مدل
m	۰/۰۳		ون‌گنوختن [۱۶]
n	۷/۲۸	اول	ون‌گنوختن (خشک شدگی)
a	۰/۱۸		
m	۰/۰۱		ون‌گنوختن [۱۶]
n	۵/۸۴	اول	ون‌گنوختن (ترشیدگی)
a	۰/۰۸۱		
$S^a D^a$	۳		
$K^a$	۴۰		
$\beta^a$	۴/۴۴		
$\alpha^a$	۰/۸۰		
$S^c D^c$	۰/۰۱	چیائو و همکاران [۱۷]	
$K^c$	۳۰	پنجم	
$\beta^c$	۲/۳۳		
$\alpha^c$	۰/۳۰		
a	۱/۱۱		
b	۰/۲۰		

آب - خاک پرداخته شد. به طور کلی، مدل‌هایی را که تاکنون ارائه شده‌اند، می‌توان در هشت گروه طبقه‌بندی کرد که مربایی نسبی هر گروه شرح داده شد. تمام رویکردهای ذکر شده با وجود مربایای منحصر به فردی که دارند، دارای نقاط ضعف اساسی هستند که باید در پژوهش‌های آتی به آن توجه شود. گروه اول از مدل‌های تحلیلی، مدل‌های کلاسیک هستند که فقط قادر به برآشش شکل کلی منحنی نگهداشتند و توانایی در نظر گرفتن عوامل مؤثر بر خصوصیات نگهداشت همچون تغییرات نسبت تخلخل، هیسترزیس هیدرولیکی و تنش خالص را ندارند. در گروه دوم از مدل‌های تحلیلی، عمدها به بررسی تغییرات در توزیع اندازه‌ی حفرات خاک پرداخته شد. بنابراین پیش‌نیاز این مدل‌ها، انجام آزمایش‌های پیشرفته ریزاساختاری مثل آزمایش تخلخل سنجی نفوذ جیوه است. این آزمایش با این‌که مربایی دارد، دارای محدودیت‌هایی در ارزیابی کل حفرات موجود در نمونه است که کارایی مدل را به ویژه در محدوده‌ی مکش‌های پایین و بالا با بحرازن مواجه می‌کند. گروه سوم از مدل‌های تحلیلی، به بررسی رفتار خاک‌های تغییرشکل پذیر می‌پردازند و تنها پارامتر تأثیرگذار بر تغییر شکل خاک را نسبت تخلخل در نظر می‌گیرند. به عبارت دیگر قابلیت این مدل‌ها در لحاظ کردن اثرات مهم ریزاساختار بر منحنی نگهداشت در نسبت‌های تخلخل یکسان زیر سوال می‌رود. در گروه چهارم از مدل‌های تحلیلی که بر مبنای تعریف یک سطح تسیلیم استوار است، معمولاً فرضیات ساده‌کننده‌ی بسیاری استفاده می‌شود و همچنین دارای مفاهیم نسبتاً دشواری هستند که نیاز به تخصص بالا دارند و در نتیجه صحبت‌سنجی این مدل‌ها را معمولاً با مشکل مواجه می‌کنند که به تبع آن کمتر مورد استفاده قرار می‌گیرند. در گروه پنجم از مدل‌های تحلیلی، به مدل‌هایی پرداخته شده است که به بررسی ساختار خاک می‌پردازند. به طور کلی این گروه از مدل‌ها دقت نسبتاً بالایی نسبت به گروه‌های قبلی دارند و لیکن به دلیل تعداد پارامترهای بسیار این گروه از مدل‌ها و به تبع آن صحبت‌سنجی نسبتاً دشوار آن کمتر در کارهای معمول استفاده می‌شود. در گروه ششم از مدل‌های



شکل ۵. مقایسه مدل‌های ون‌گنوختن [۱۶] و چیائو و همکاران [۱۷] برای خاک بنتونیت ماسه‌بی [۲۸] در آزمایش خشک شدگی و ترشیدگی. [۱۷]

و جامعیت چندانی ندارد؛ زیرا قادر به در نظر گرفتن تغییرات ساختار خاک هین بارگذاری هیدرومکانیکی نیست. یکی دیگر از مدل‌های توأم‌نمد در این گروه، مدل چیائو و همکاران [۱۷] است که در بخش مدل‌های مبتنی بر ریزاساختار به آن اشاره شده است و در واقع توسعه یافته‌ی مدل نوٹ و لالوئی است که علاوه بر خاک‌های درشت دانه، توانایی بررسی رفتار خاک‌های ریزدانه را نیز دارد و با بررسی تغییرات ریزاساختار خاک، معمولاً نتایج دقیقی ارائه می‌دهد که نمونه‌ی از آن در شکل ۵ آورده شده است.

در شکل ۵، از یک نمونه خاک بنتونیت ماسه‌بی [۲۸] با وزن مخصوص ۱۵۵۰ کیلوگرم بر مترمکعب برای بررسی عملکرد مدل استفاده شده است. پارامترهای این مدل را که در رابطه‌ی ۳۱ معروف شده‌اند، می‌توان در جدول ۳ مشاهده کرد (در رابطه با نحوه‌ی به دست آوردن و آشنازی با این پارامترها می‌توان به مرجع [۱۷] مراجعه کرد.). با توجه به شکل ۵، می‌توان دید که مدل ون‌گنوختن [۱۶] با دقت قابل قبولی توانایی پیش‌بینی رفتار هیسترزیس خاک مورد نظر را دارد. باید اشاره کرد که در شاخه‌ی ترشیدگی، تعداد داده‌های کمی برای این نوع خاک موجود است. این موضوع سبب شده است که مدل ون‌گنوختن [۱۶] که در دو مورد قبل با دقت بسیار خوبی توانست رفتار نگهداشت خاک را نشان دهد، در این نوع خاک رفتار واگرا و خلاف واقعیت را در محدوده‌ی مکش‌های بالا پیش‌بینی کند. عمل این موضوع در این است که به طور کلی مدل‌های کلاسیک توانایی بررسی اثرات بارگذاری هیدرومکانیکی را ندارند و فقط مبتنی بر خروجی آزمایش هستند. با توجه به ماهیت برآششی مدل ون‌گنوختن [۱۶]، به همین دلیل در جدول ۳ برای دو شاخه‌ی خشک شدگی و ترشیدگی پارامترهای مختلفی به دست می‌آید که باید به آن توجه کرد.

در گروه ششم و هفتم مدل‌های نگهداشت که در بخش دوم به آن اشاره شده است به ترتیب برای محیط‌های چندفاری و جاذب‌ها کارایی دارند و با توجه به نوع مسئله باشد انتخاب و به کارگرفته شوند. در بخش بعد به برخی از نتایج محوری این پژوهش پرداخته خواهد شد و در نهایت برای انتخاب صحیح مدل‌های مناسب برای بررسی رفتار نگهداشت، پیشنهادهایی ارائه خواهد شد.

#### ۴. نتیجه‌گیری

در این مقاله به مروری اجمالی اهم رویکردهای مدل‌سازی تحلیلی منحنی نگهداشت

- ۲- به طور کلی مدل‌هایی که فقط مبتنی بر انجام آزمایش تخلخل سنجی نفوذ جیوه هستند، نمی‌توانند رفتار نگهداشت را به خوبی توصیف کنند و بهتر است که نتایج این آزمایش با نتایج آزمایش نگهداشت توان استفاده شود. در نتیجه مدل هو و همکاران<sup>[۳]</sup> یک مدل مناسب در این شرایط است که ضمن سهولت در کالیبراسیون دقت قابل قبولی دارد.
- ۳- با توجه به این‌که مدل‌هایی که فقط مبتنی بر تغییرات نسبت تخلخل خاک هستند، به خوبی نمی‌توانند رفتار نگهداشت را توصیف کنند، بهتر است تا در صورت موجود بودن داده‌های مربوط به تغییرات حجمی خاک در شرایط بارگذاری هیدرومکانیکی، از مدل ژو و پنگ<sup>[۱۸]</sup> که اثرات ریزساختار را نیز در نظر می‌گیرد، استفاده کرد.
- ۴- در پروژه‌های حساس یا خاک‌هایی که داده‌های آزمایشی محدودی برای آن موجود است، بهتر است از مدل جامع چیائو و همکاران<sup>[۱۷]</sup> استفاده کرد که توانایی بررسی رفتار هیسترزیس خاک‌های ریزدانه و درشت‌دانه را با دقت قابل قبولی دارد.
- ۵- در شرایطی که محیط‌های چندفازی حاکم بر مسئله باشند، بسته به شرایط خاک می‌توان از مدل‌های پنگ و همکاران<sup>[۳۰]</sup> و ژو و چن<sup>[۲۹]</sup>، به ترتیب به منظور بررسی اثرات ریشه‌ی گیاهان و بیولیمیرها در خاک استفاده کرد.
- ۶- برای بررسی رفتار نگهداشت جاذب‌ها در طیف گسترده‌ی از مسائل زیست‌محیطی می‌توان از مدل بازارگان و همکاران<sup>[۳۱]</sup> با دقت قابل قبولی استفاده کرد.

### تقدیر و تشکر

بدین وسیله از حمایت مالی معاونت پژوهشی دانشگاه صنعتی شریف در قالب پنجمین طرح فراخوان گرفت از برنامه‌ی پژوهشی تحت عنوان «ازریابی آزمایشگاهی جریان دوفازه در محیط متخلخل و تغییرشکل پذیر» به شناسه‌ی گرنت G۹۷۰۹۰۲ صمیمانه قدردانی و تشکر می‌شود.

### پانوشت‌ها

1. soil water retention curve
2. soil water characteristic curve
3. volumetric water content
4. air entry value
5. residual water content
6. pore size distribution
7. mercury intrusion porosimetry
8. inter-aggregate pore
9. intra-aggregate pore
10. biopolymers
11. sorbate
12. sorbents

### منابع (References)

1. Sun, W.-J. and Cui, Y.-J “Determining the soil-water retention curve using mercury intrusion porosimetry test in consideration of soil volume change,” *Journal of Rock Mechanics and Geotechnical Engineering*, **12**(5), pp.1070-1079 (2020).
2. Lu, N. and Likos, W. “Unsaturated Soil Mechanics, New York: Wiley”, pp. 494-510 (2004).
3. Hu, R., Chen, Y., Liu, H. and et al. “A water retention curve and unsaturated hydraulic conductivity model for deformable soils: consideration of the change in pore-size distribution”, *Géotechnique*, **63**,16 pp. 1389-1405 (2013).
4. Chen, Y. “Soil–water retention curves derived as a function of soil dry density”, *GeoHazards*, **11**, pp. 3-19 (2020).
5. Brooks, R. H. and Corey, A. T. “Hydraulic properties of porous media”, *Colorado State University: Hydrology paper*, **24**(37) (1964).
6. van Genuchten, M.T. “A closed-form equation for predicting the hydraulic conductivity of unsaturated soils”, *Soil Science Society of America Journal*, **44**5, pp. 892-898 (1980).
7. van Genuchten, M.T., Leij, F.J. and Yates, S.R. “The RETC code for quantifying the hydraulic functions of unsaturated soils”, *Riverside, California 9250 1* (1991).

8. Fredlund D. and Xing, A. "Equations for the soil-water characteristic curve," *Canadian Geotechnical Journal*, **31**4, pp. 521-532 (1994).
9. Cheng, Q., Ng, C. W. W., Zhou, C. and et al. "A new water retention model that considers pore non-uniformity and evolution of pore size distribution", *Bulletin of Engineering Geology and the Environment*, **78**, pp. 5055-5065, (2019).
10. Gallipoli, D., Wheeler, S.J. and Karstunen, M. "Modelling the variation of degree of saturation in a deformable unsaturated soil", *Géotechnique*, **53**1, pp. 105-112 (2003).
11. Gallipoli, D. "A hysteretic soil-water retention model accounting for cyclic variations of suction and void ratio", *Géotechnique*, **62**7, pp. 605-616 (2012).
12. Gallipoli, D., Brund, A.W., onza, F.D' and et al "A bounding surface hysteretic water retention model for deformable soils", *Géotechnique*, **65**10, pp. 793-804, (2015).
13. Tarantino, A. "A water retention model for deformable soils", *Géotechnique*, **59**9, pp. 751-762 (2009).
14. Nuth, M. and Laloui, L. "Advances in modelling hysteretic water retention curve in deformable soils", *Computers and Geotechnics*, **35**6, pp. 835-844 (2008).
15. Dieudonne, A.-C., Vecchia, G.D. and Charlier, R. "A water retention model for compacted bentonites," *Canadian Geotechnical Journal*, **54**7, pp. 915-925 (2016).
16. Dubinin, M.M. and Radushkevich, L.V. "Equation of the characteristic curve of activated charcoal", *Proceedings of the Academy of Sciences*, **55**, pp. 331-333 (1947).
17. Qiao, Y., Tuttolomondo, A., Lu, X. and et al. "A generalised water retention model with soil fabric evolution", *Geomechanics for Energy and the Environment*, **25**(100205) (2021).
18. Zhou, C. and Ng, C. W. W. "A new and simple stress-dependent water retention model for unsaturated soil", *Computers and Geotechnics*, **62**, pp. 216-222 (2014).
19. Alonso, E.E., GENS, A. and JOSA, A. "A constitutive model for partially saturated soils", *Geotechnique*, **40**3, pp. 405-430, (1990).
20. Bharat, T.V. and Gapak, Y. "Soil water characteristic curves of bentonites in isochoric conditions during wetting: measurement and prediction", *Canadian Geotechnical Journal*, **58**(5), pp.711-721 (2021).
21. Kovács, G. "Seepage hydraulics", *Elsevier Science Publishers* (1981).
22. Navarro, V., Asensio, L., Morena, G.D. and et l. "Differentiated intra- and inter-aggregate water content models of mx-80 bentonite", *Applied Clay Science*, **118**, pp. 325-336 (2017).
23. Or, D. and Tuller, M. "Liquid retention and interfacial area in variably saturated porous media: upscaling from single-pore to sample-scale model", *Water Resources Research*, **35** 12, pp. 3591-3605 (1999).
24. Hillel, D. "Fundamentals of soil physics, New York: Academic Press Inc", pp. 413 (1980).
25. Masrouri, F. Bicalho, K. and Kawai, K "Laboratory hydraulic testing in unsaturated soils", *Geotechnical and Geological Engineering*, **26**6, pp. 691-704 (2008).
26. Goh, S., Rahardjo, H., and Leong, E. "Modification of triaxial apparatus for permeability measurement of unsaturated soils", *Soils Found*, **55**1, pp. 63-73 (2015).
27. Zhao, Y., Wen, T. Shao, L. and et al. "Predicting hysteresis loops of the soil water characteristic curve from initial drying", *Soil Science Society of America Journal*, **84**(5), pp.1642-1649 (2020). (2020).
28. Orense, R. "Geotechnical hazards: nature, assessment and mitigation", *University of the Philippines Press, E. de los Santos St.*, U. P. Campus, Philippines (2003).
29. Zhou, C., So, P. and Chen, X. "A water retention model considering biopolymer-soil interactions", *Journal of Hydrology*, **586**(124874) (2020).
30. Ng, C. W. W., Ni, J. J., Leung, A.K. and et al. "A new and simple water retention model for root-permeated soils", *Geotchnique*, **61**, pp. 106-111 (2016).
31. Bazargan, A., Sadeghi, H., Garcia-Mayoral, R. and et al. "An unsteady state retention model for fluid desorption from sorbents", *Journal of Colloid and Interface Science*, **450**, pp. 127-134 (2015).
32. Saleem, J., Bazargan, A., Barford, J. and et al. "Superfast oil uptake using porous ultra-high molecular weight polyethylene sheets", *Polymers for Advanced Technologies*, **25**10, pp. 1181-1185 (2014).
33. Singh, V., Kendall, R.J., Hake, K. and et al. "Crude oil sorption by raw cotton", *Industrial and Engineering Chemistry Research*, **52**18, pp. 6277-6281 (2013).
34. Romero, E. "Characterisation and thermo-hydro-mechanical behavior of unsaturated Boom clay: An experimental study. PhD thesis", *Universitat Politècnica de Catalunya, Barcelona*, Spain (1999).
35. Ng, C. W. W., Sadeghi, H., Jafarzadeh, F. and et al "Effect of microstructure on shear strength and dilatancy of unsaturated loess at high suctions", *Canadian Geotechnical Journal*, **57**2, pp. 221-235 (2020).
36. Ng, C. W. W., Sadeghi, H., Hossen, S.K.B. and et al. "Water retention and volumetric characteristics of intact and re-compacted loess", *Canadian Geotechnical Journal*, **53**8, pp. 1258-1269 (2016).
37. Lee, I.M., Sung, S.G. and Cho, G.C. "Effect of stress state on the unsaturated shear strength of a weathered granite", *Canadian Geotechnical Journal*, **42**2, pp. 624-631, Apr (2005).
38. Manca, D., Ferrari, A. and L. Laloui, "Fabric evolution and the related swelling behaviour of a sand/bentonite mixture upon hydro-chemo-mechanical loadings", *Geotechnique*, **66**, pp. 41-57, Jan (2016).